

FIG. 1

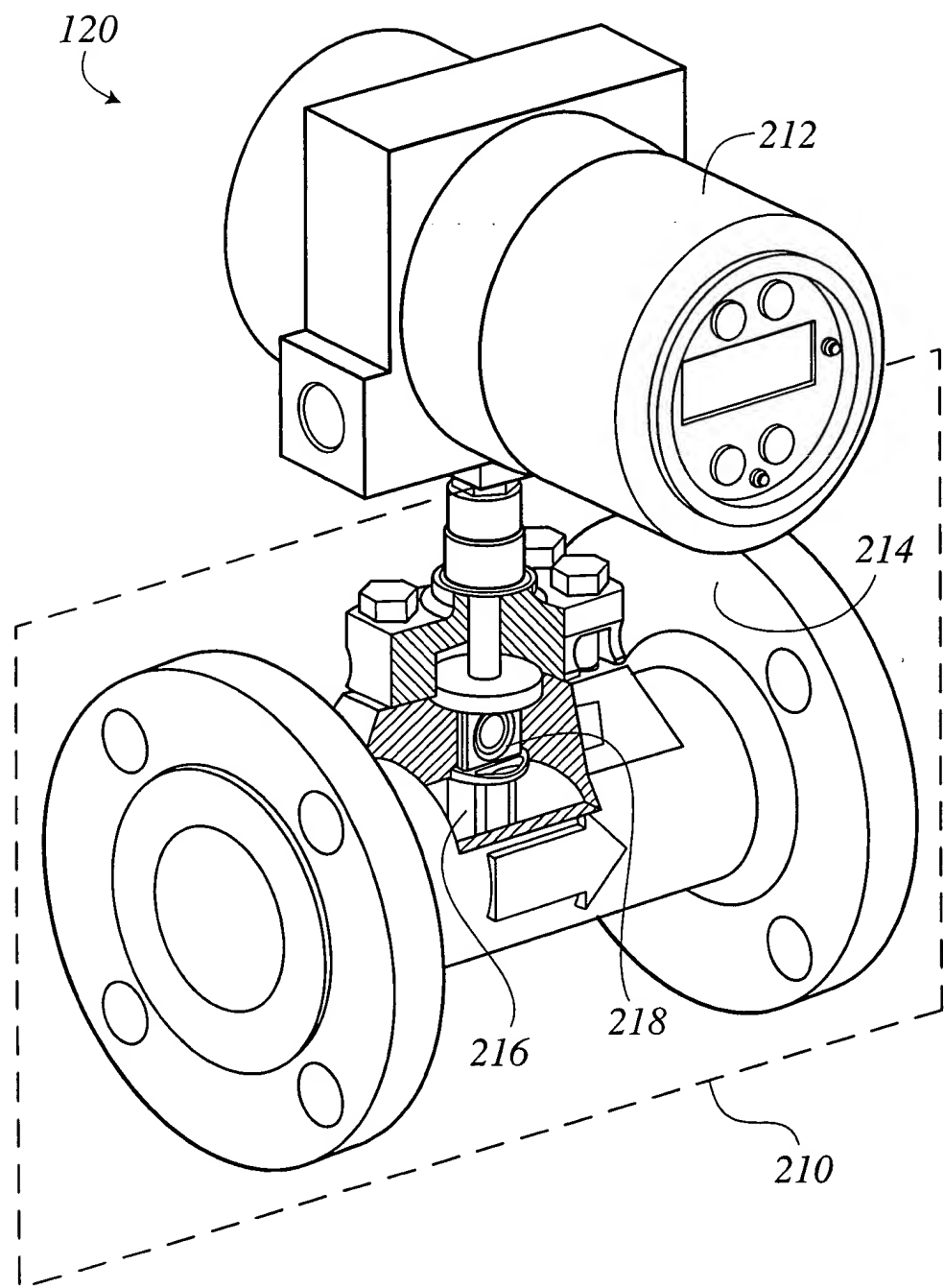


FIG. 2

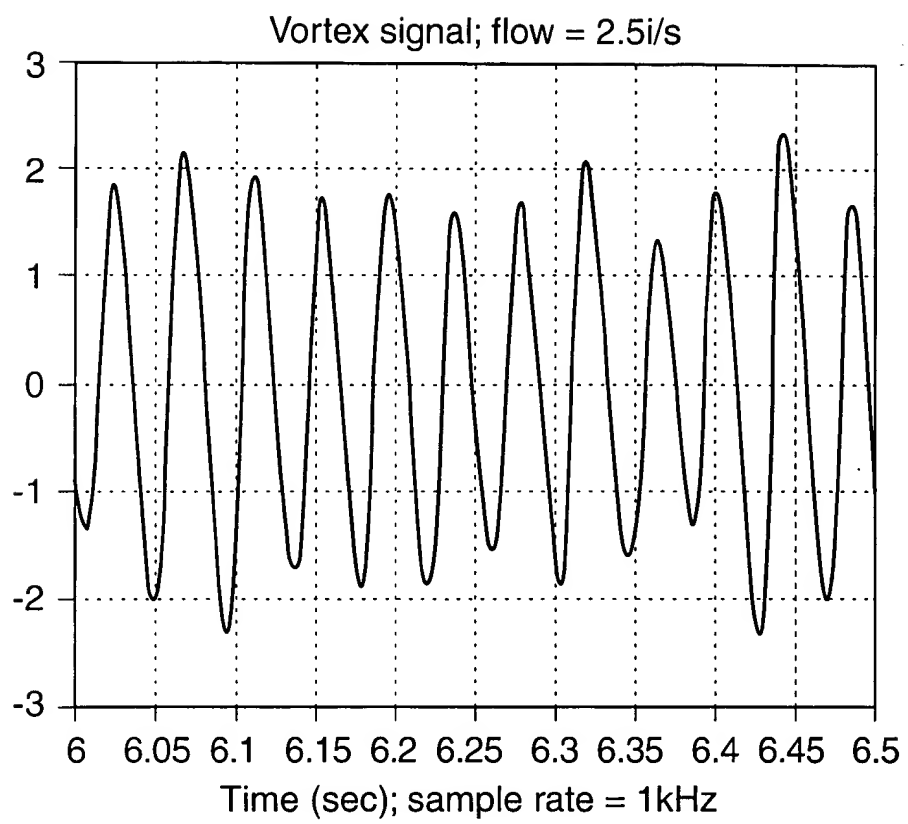


FIG. 3A

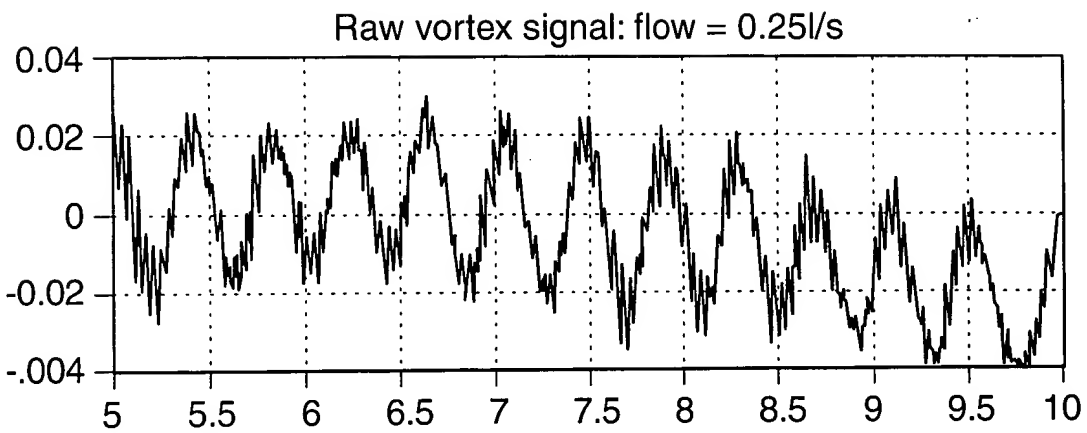


FIG. 3B

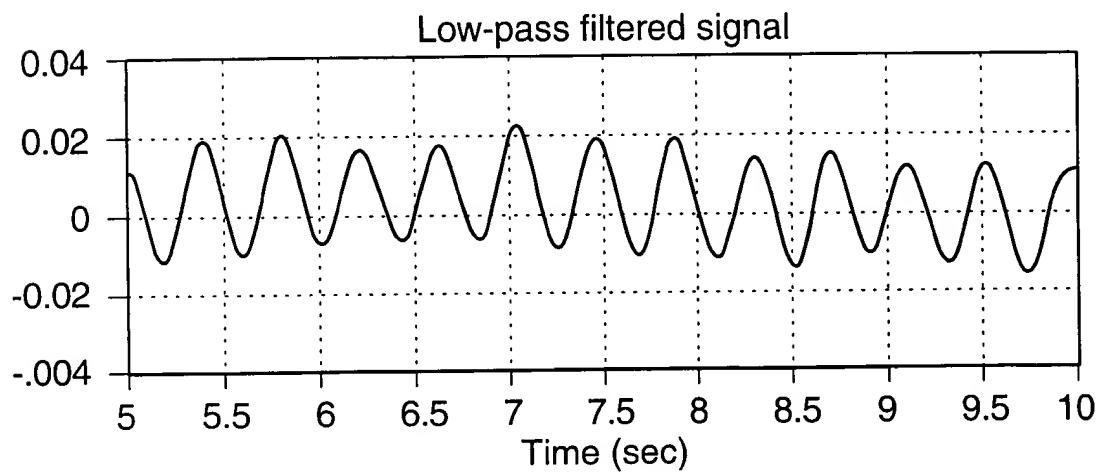


FIG. 3C

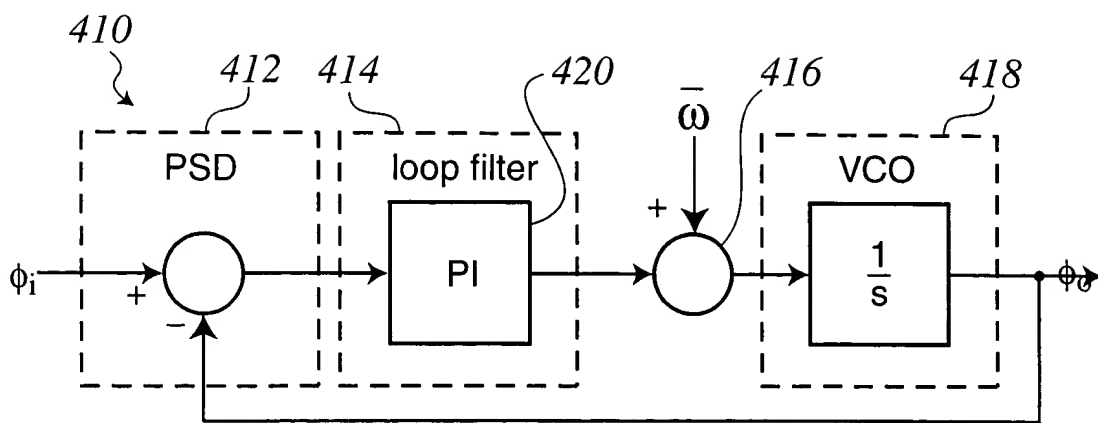


FIG. 4

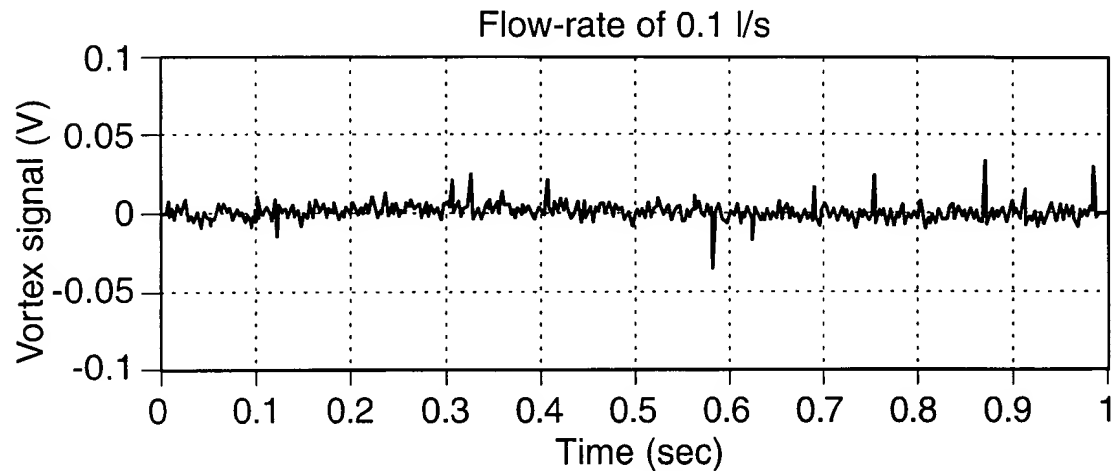


FIG. 5A

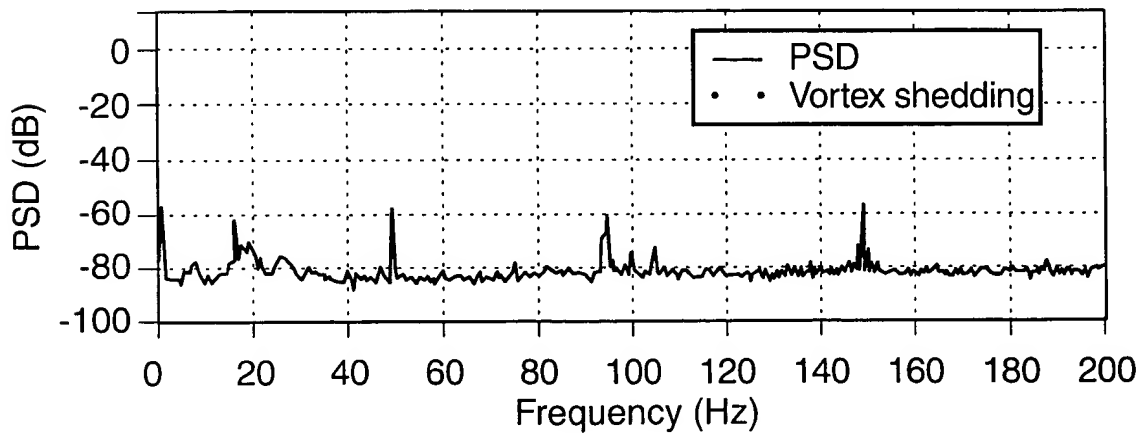


FIG. 5B

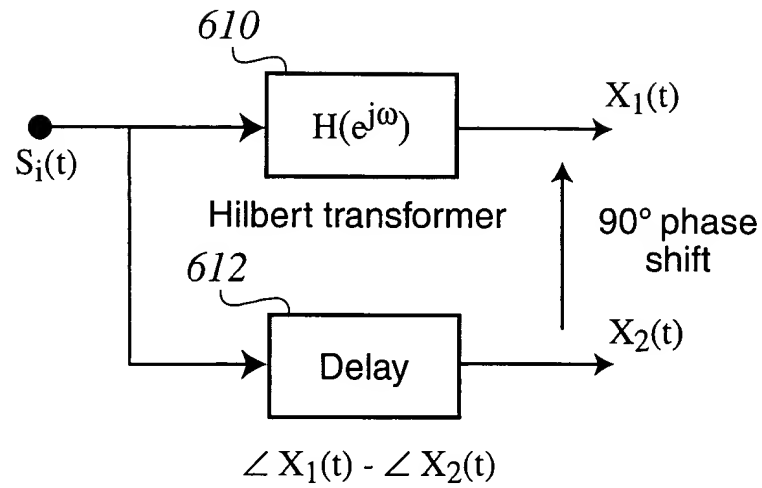


FIG. 6

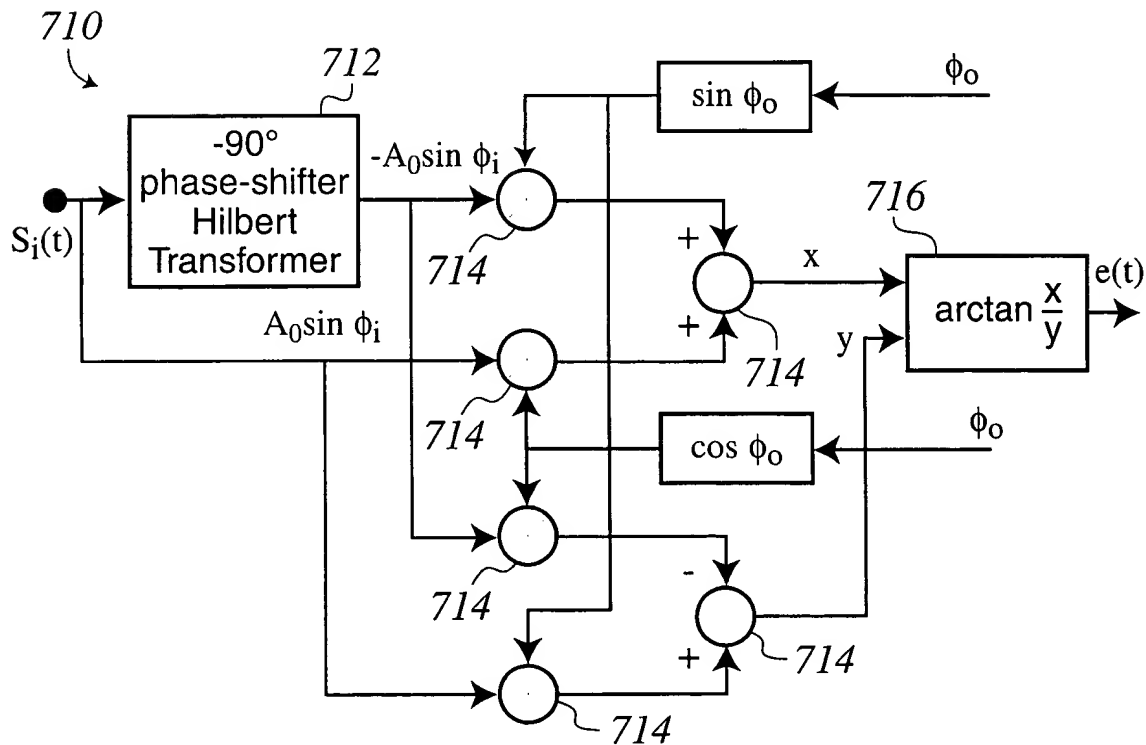


FIG. 7

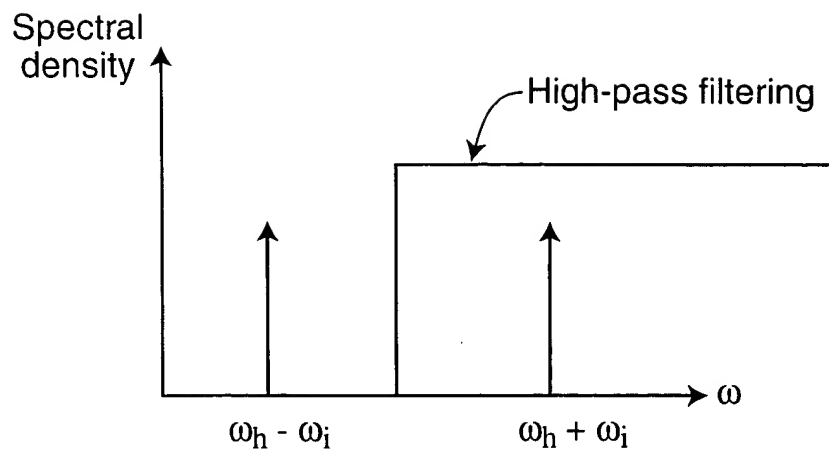


FIG. 8

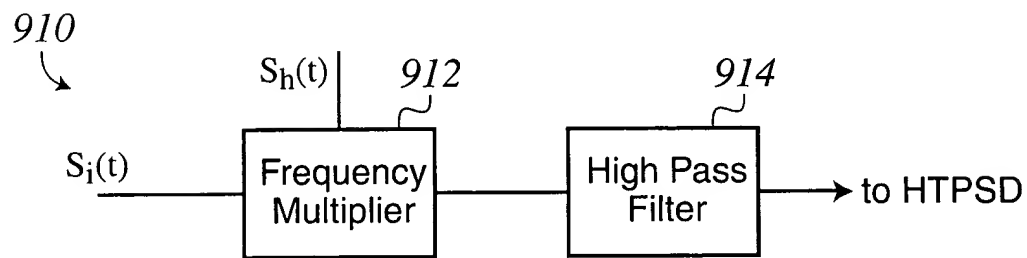


FIG. 9

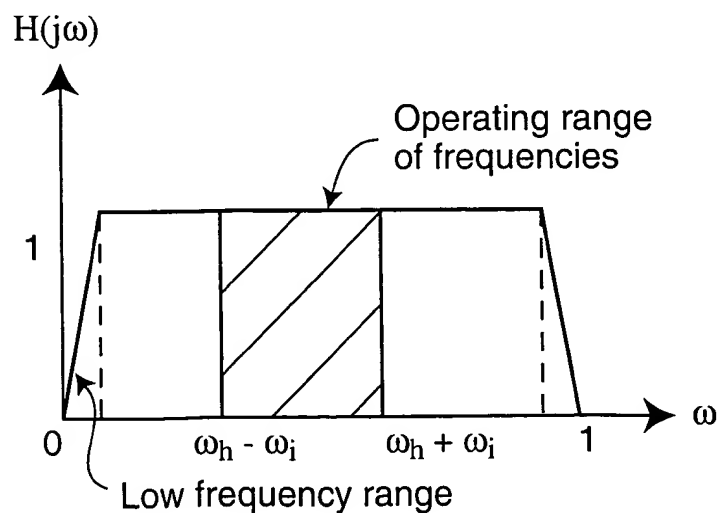


FIG. 10

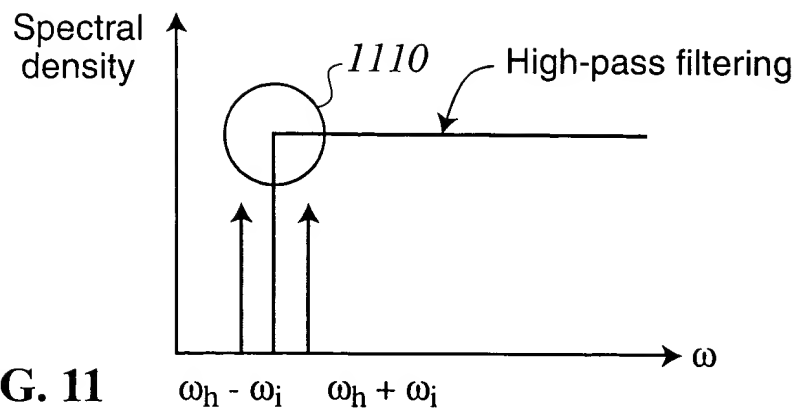


FIG. 11

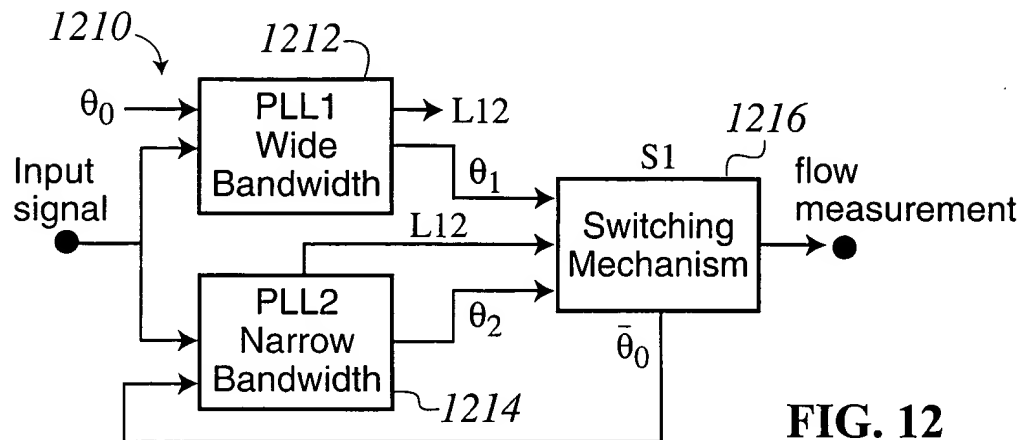


FIG. 12

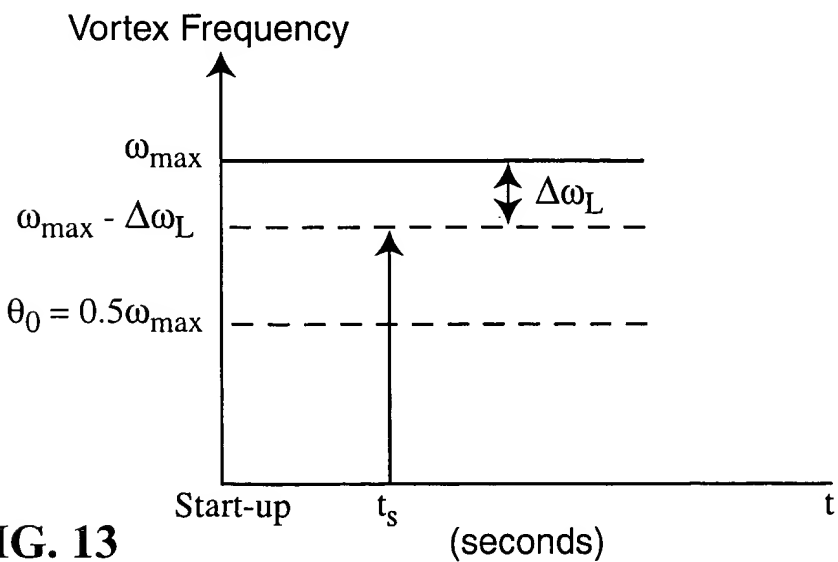


FIG. 13

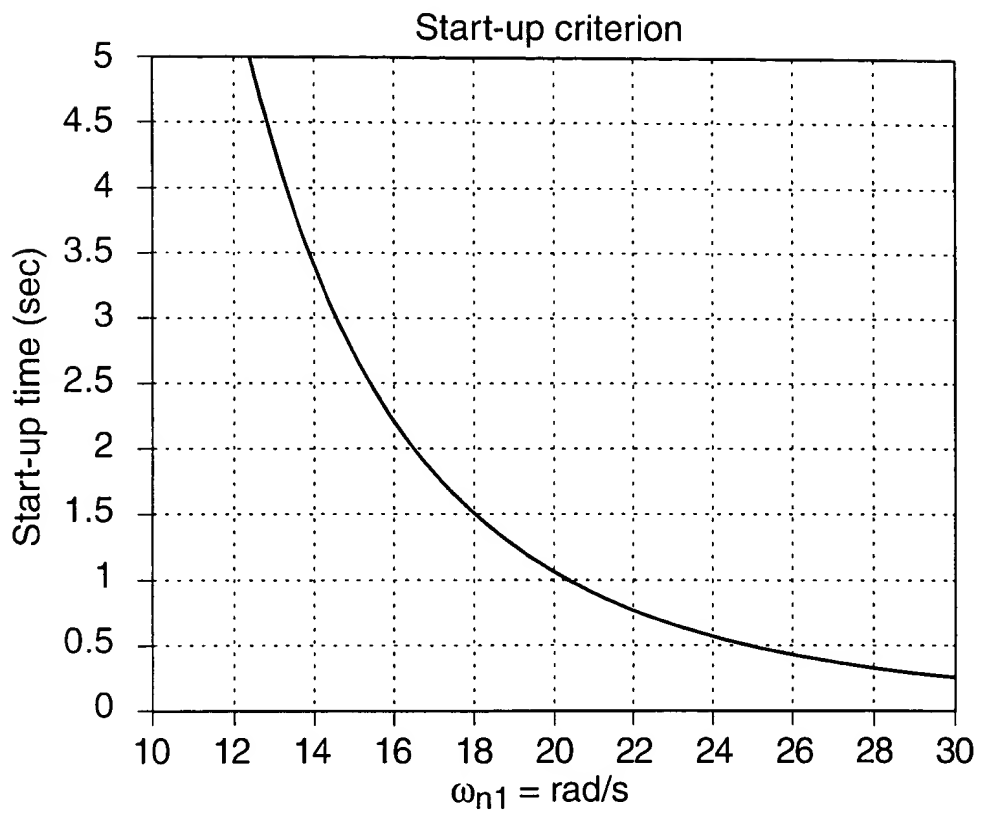


FIG. 14

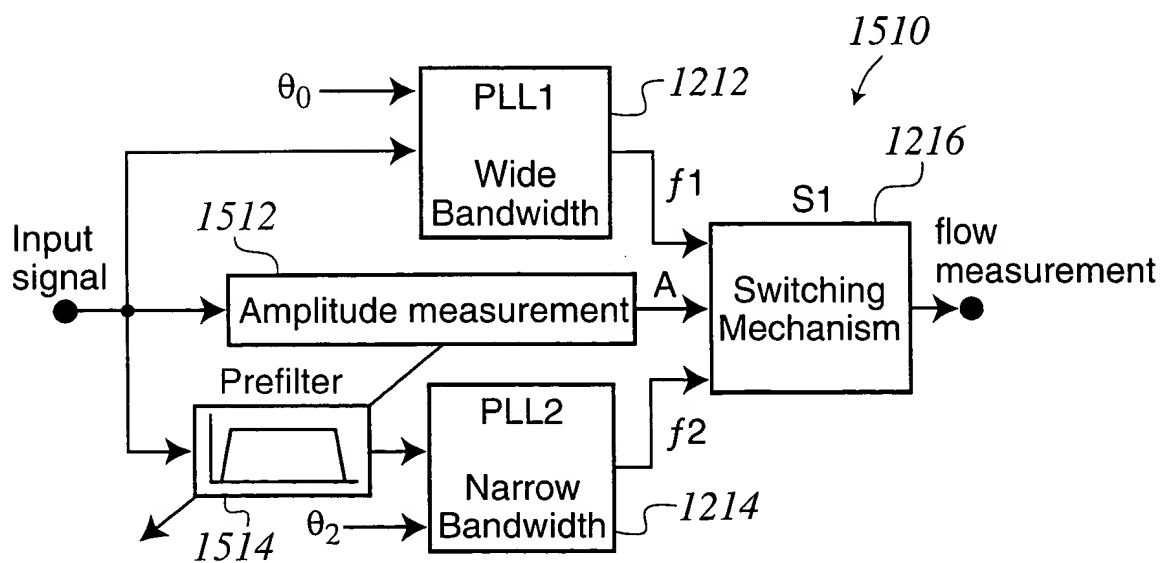


FIG. 15

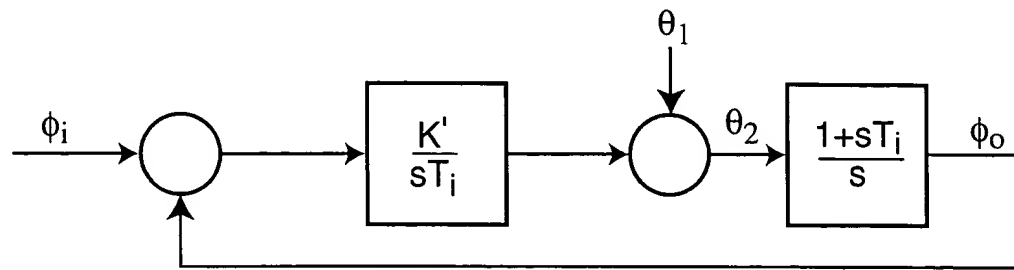


FIG. 16

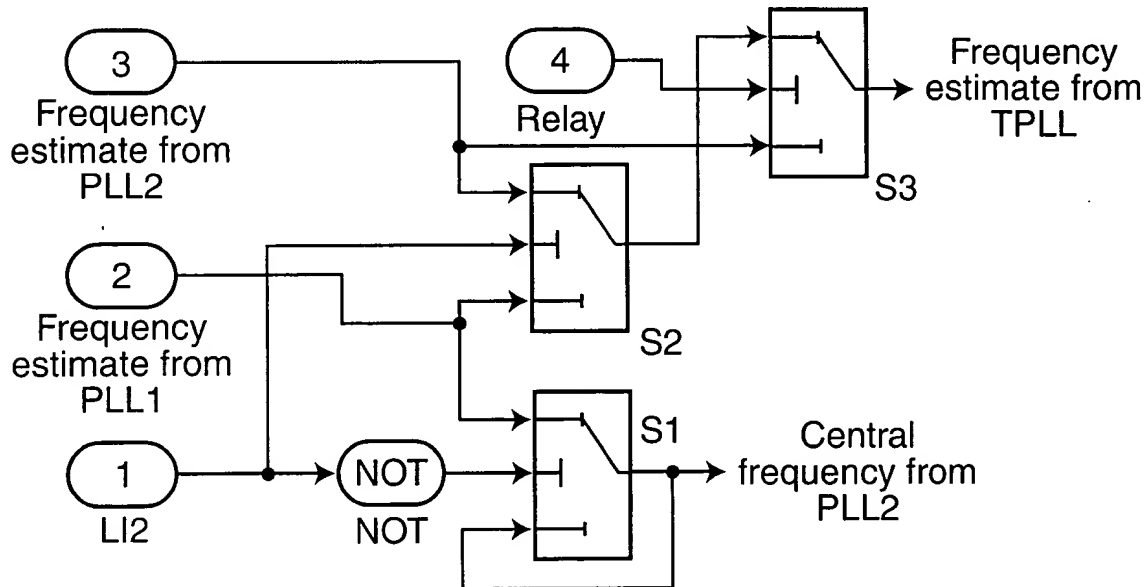


FIG. 17

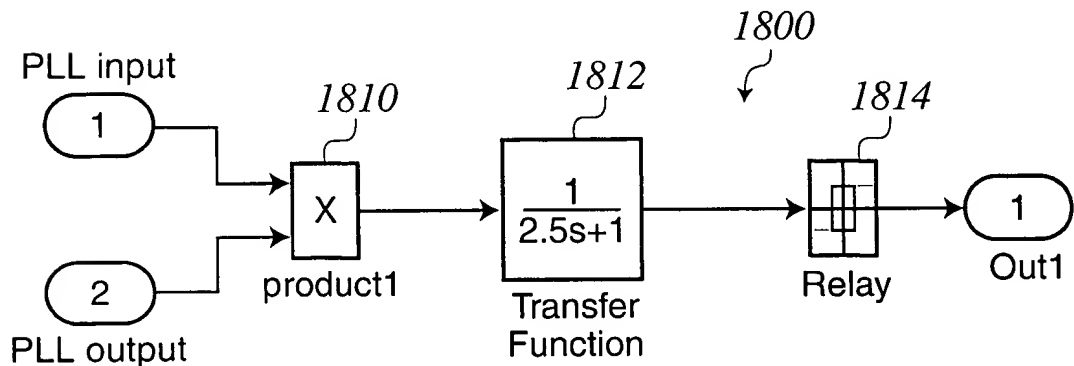


FIG. 18

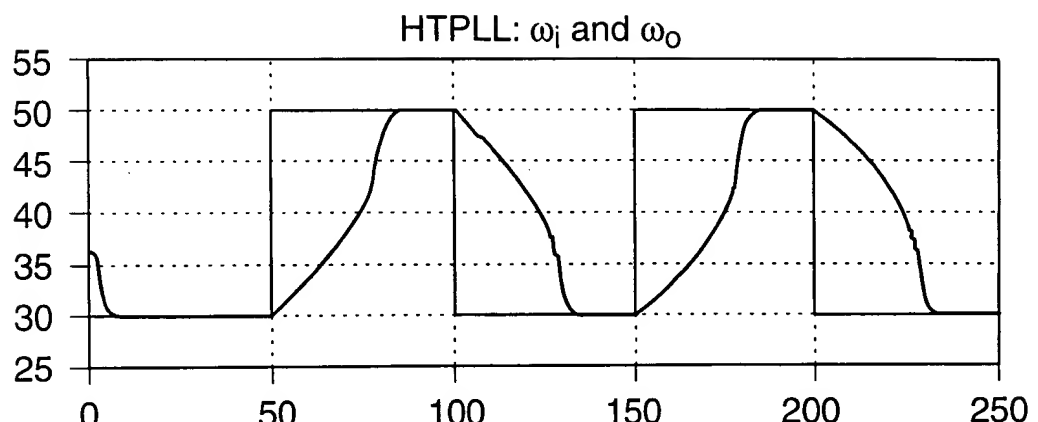


FIG. 19A

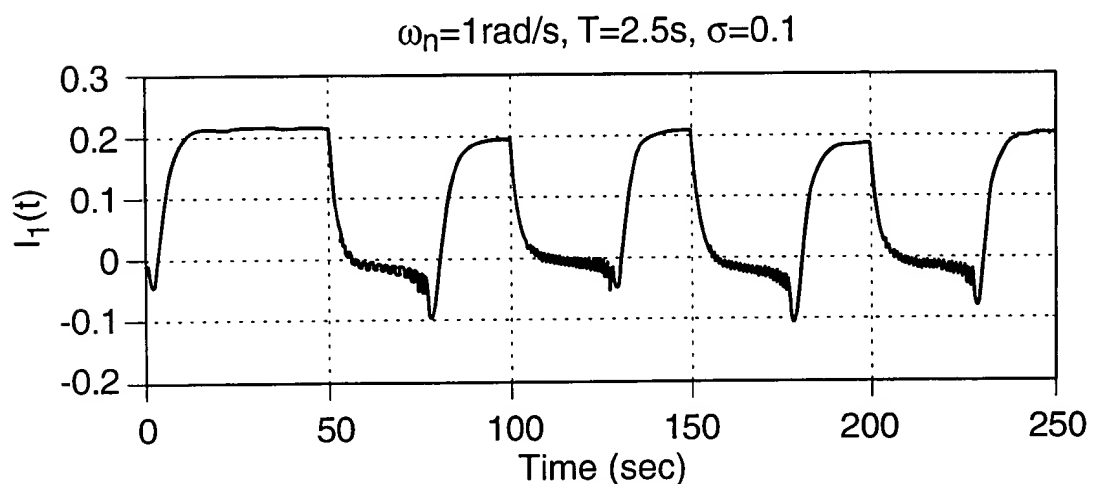


FIG. 19B

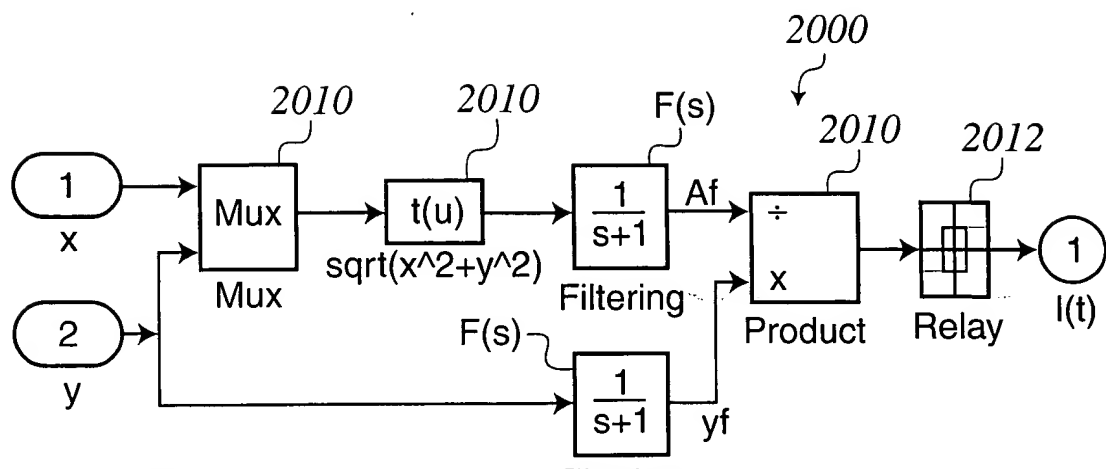


FIG. 20

HTPLL: ω_i and ω_o

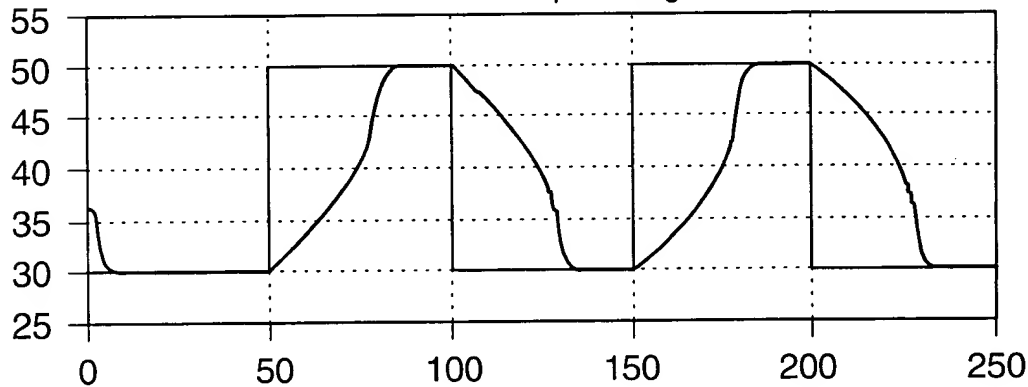


FIG. 21A

$\omega_n=1\text{ rad/s}, T=1\text{ s}, \sigma=0.1$

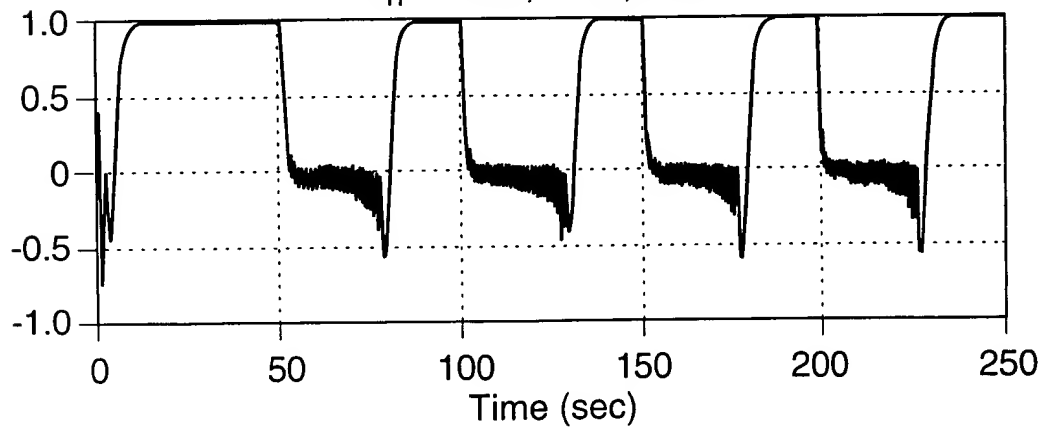


FIG. 21B

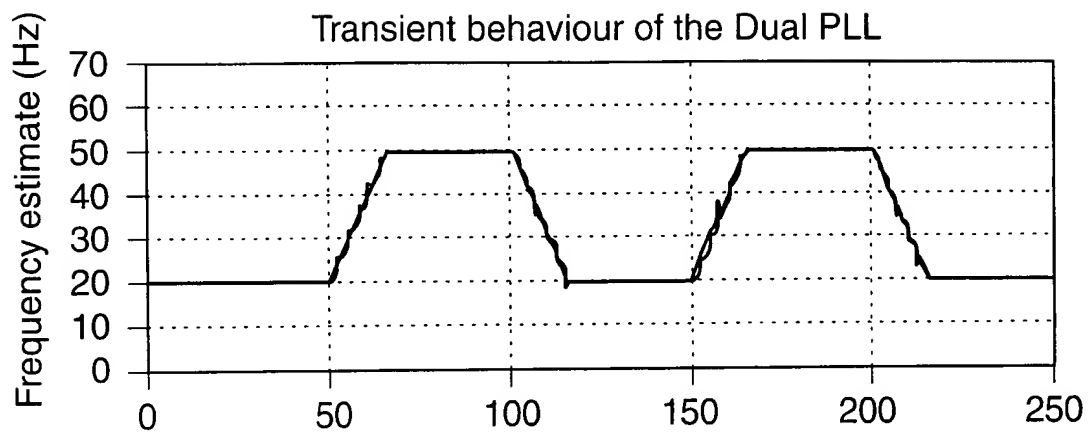


FIG. 22A

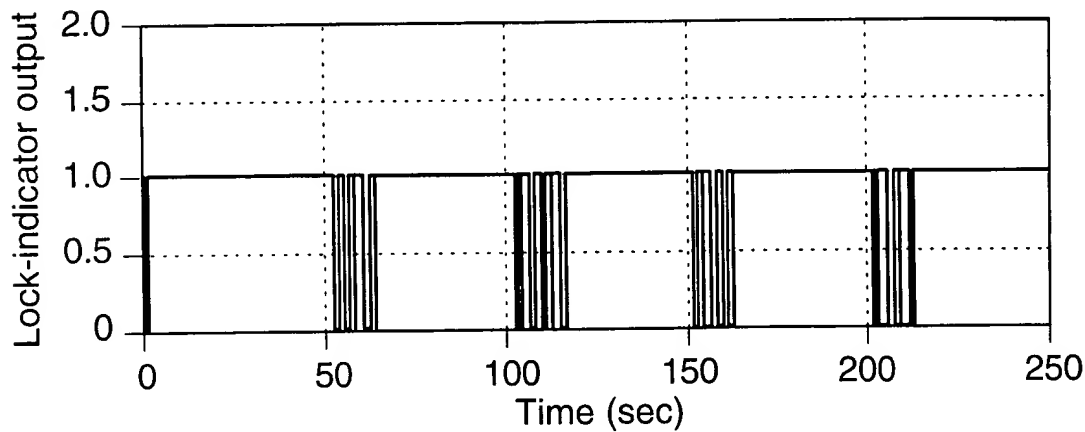


FIG. 22B

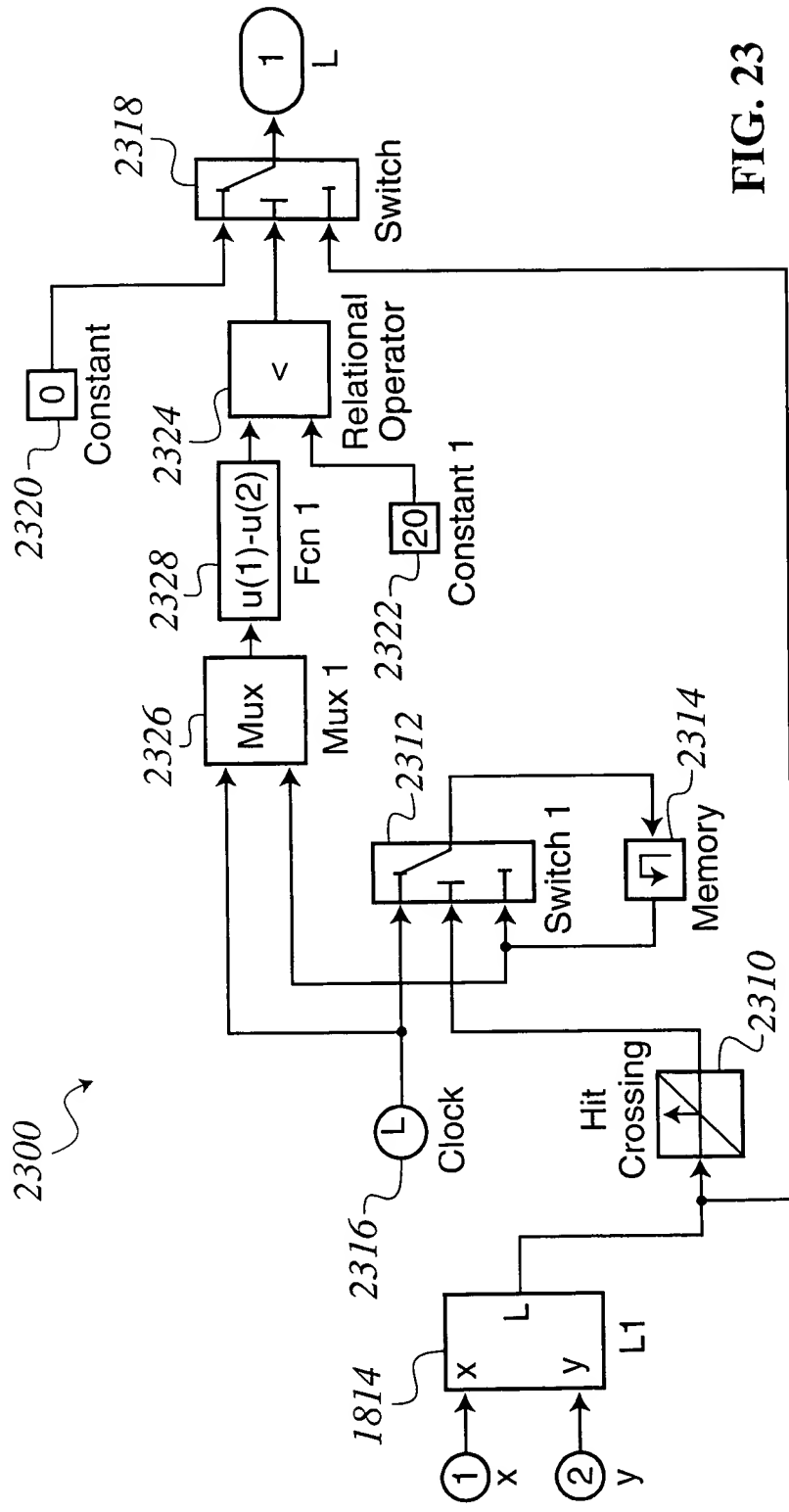


FIG. 23

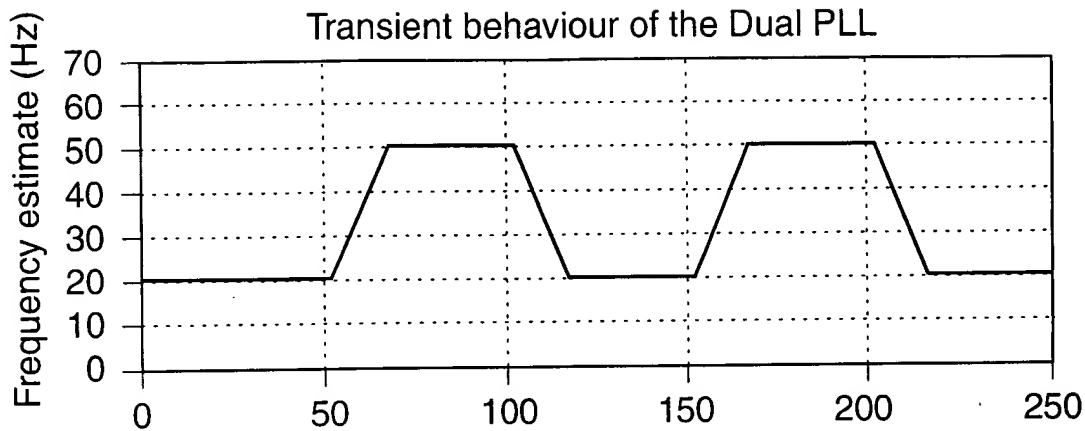


FIG. 24A

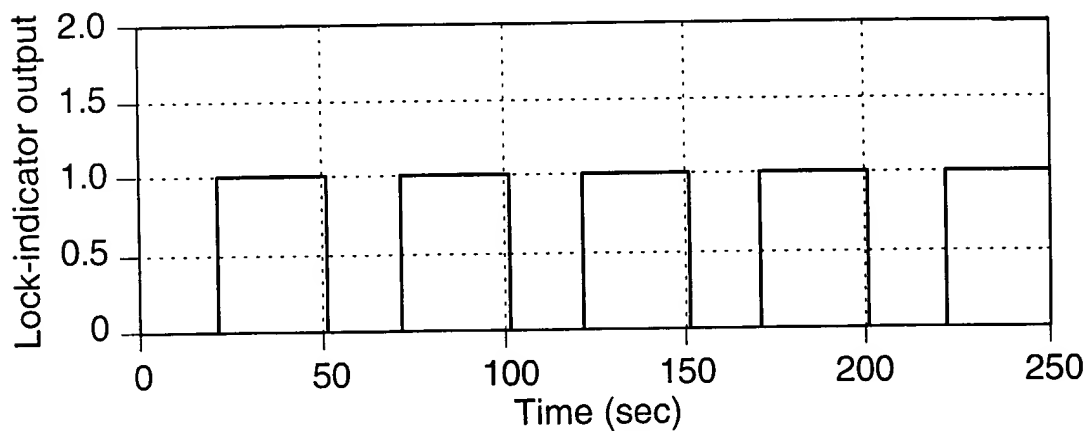


FIG. 24B

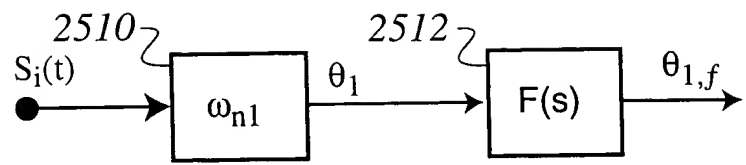


FIG. 25A A single PLL Smoothing filter

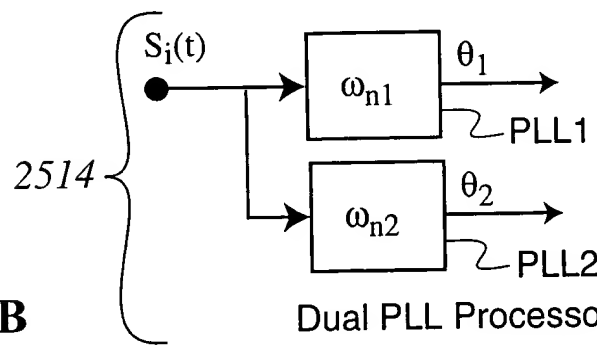


FIG. 25B Dual PLL Processor

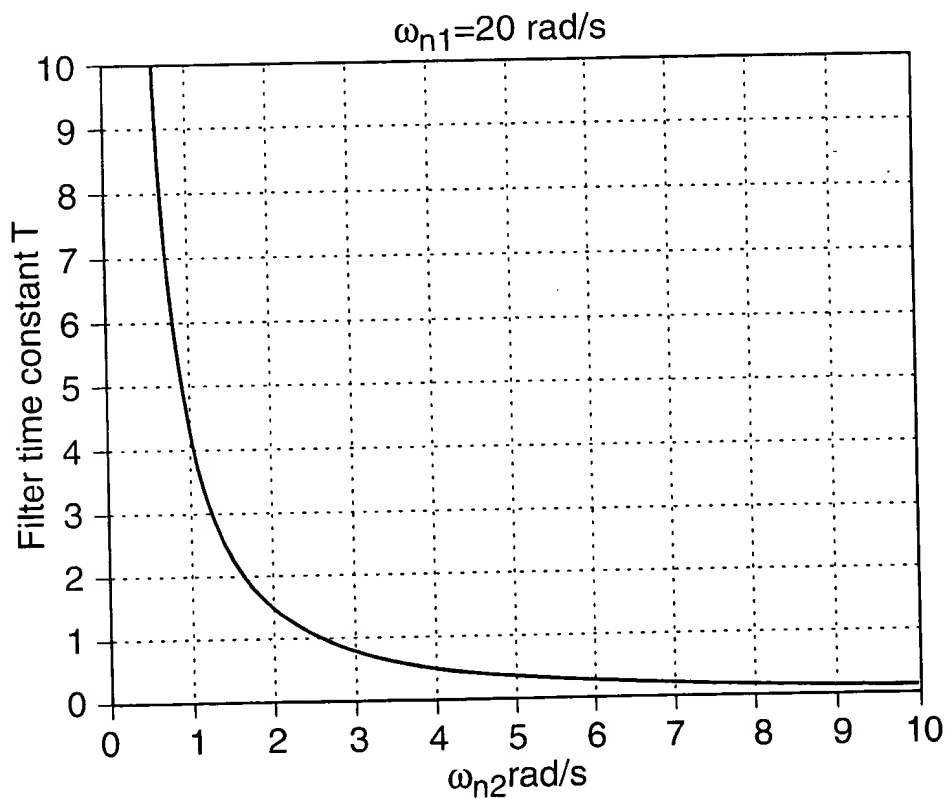


FIG. 26

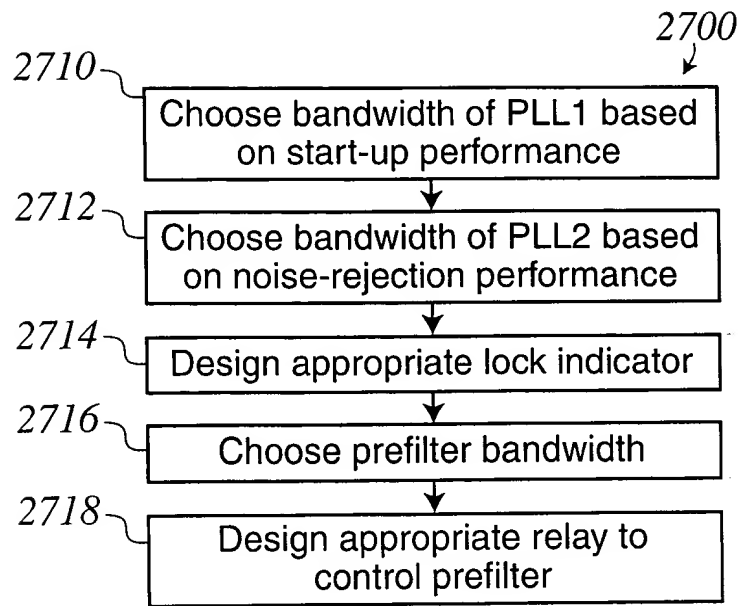


FIG. 27

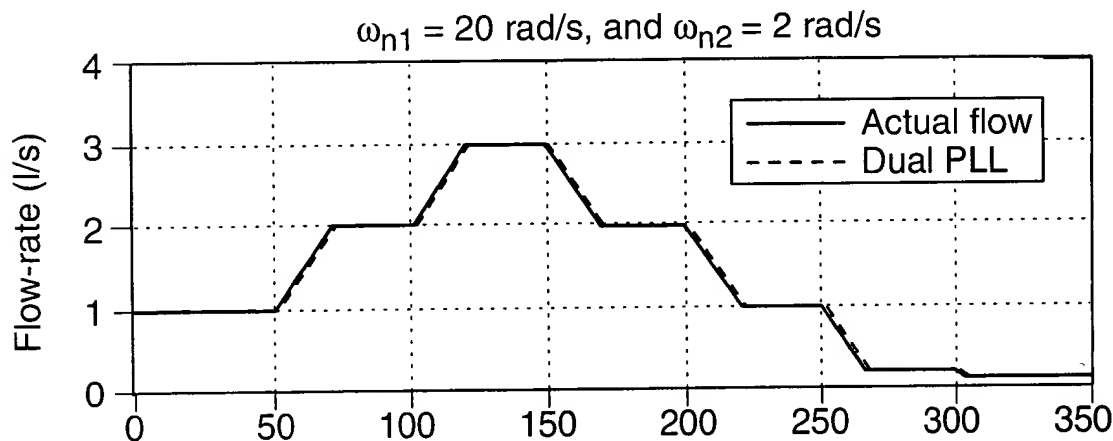


FIG. 28A

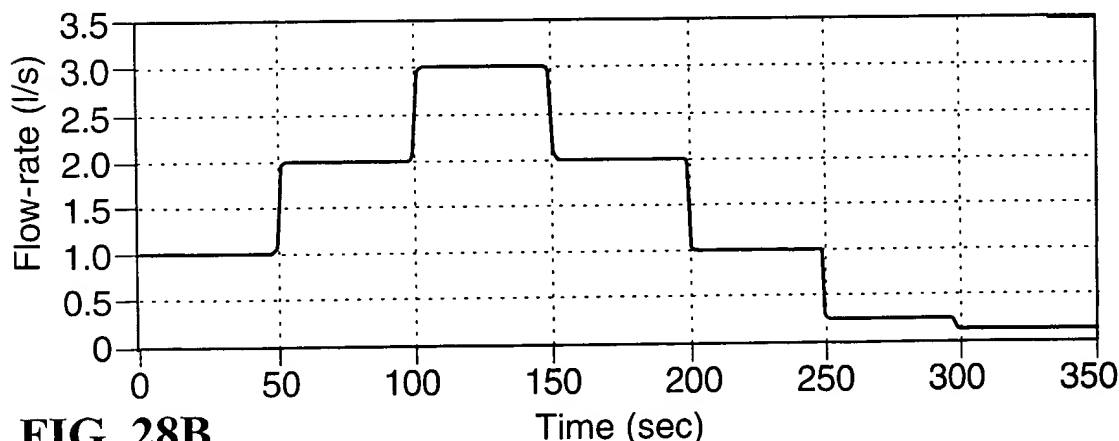


FIG. 28B

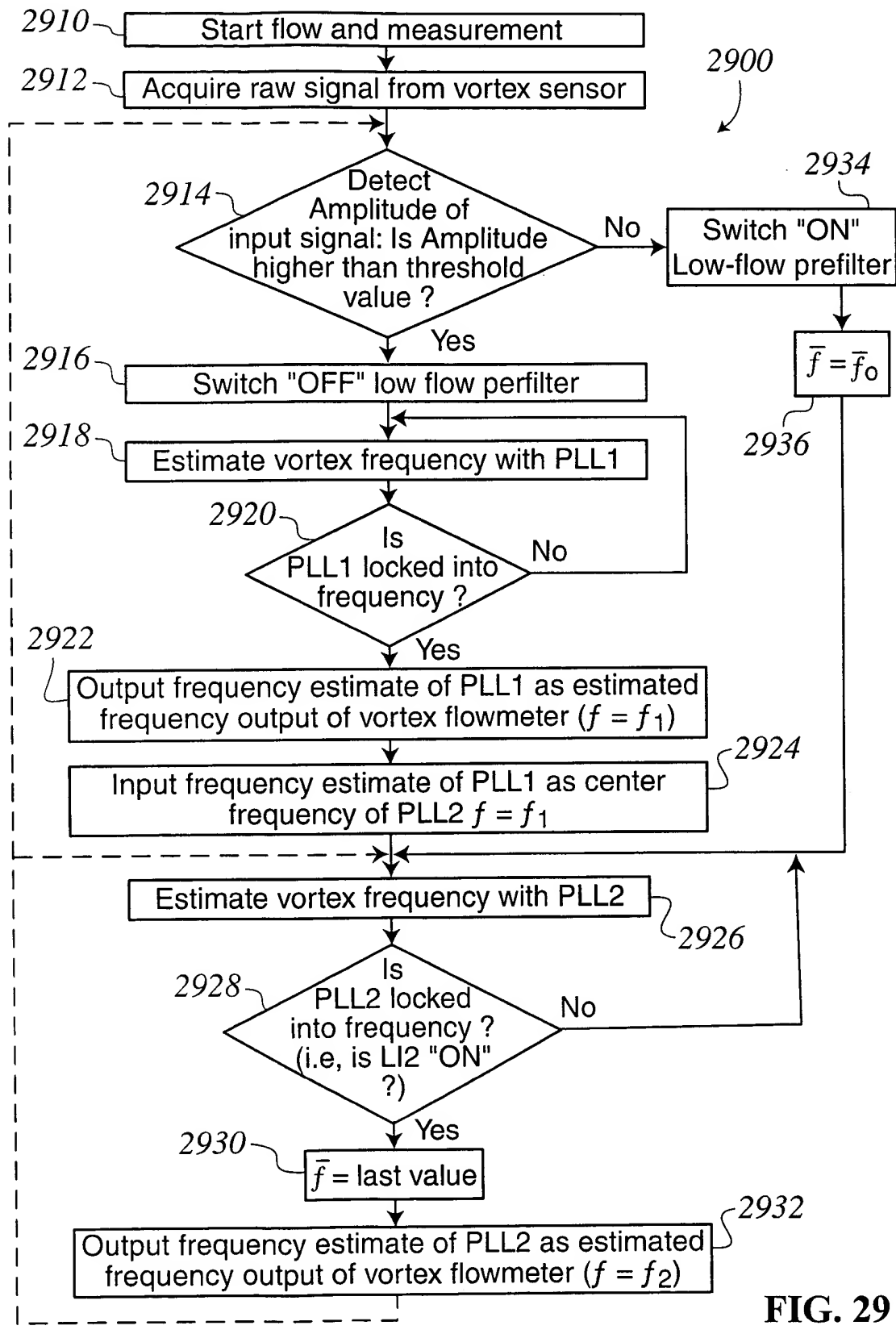


FIG. 29



FIG. 30